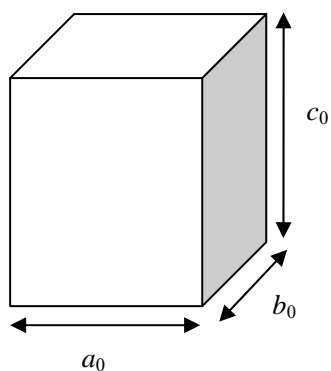


## 周期境界条件の有限要素法（分子動力学と同じ系の計算）

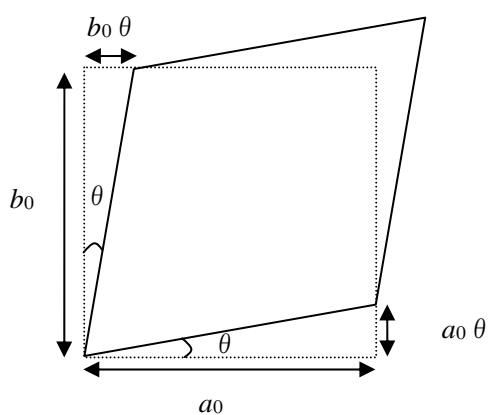
分子動力学のひずみ負荷の計算では、最初の無ひずみのMDセルの形状を三種類のエッジのベクトルを使って、以下のような形状マトリックスを設定する



$$h_0 = \begin{pmatrix} a_0 & 0 & 0 \\ 0 & b_0 & 0 \\ 0 & 0 & c_0 \end{pmatrix} \dots\dots(1)$$

この形状マトリックスを変えることによって、MDでは系の変形が行われる。ただし、形状マトリックスは9成分、変形は6成分なので、変形の際には工夫が必要になる。

ここで、例えば、各辺のベクトルを  $xy$  面内で  $\theta$ 、 $xz$  面で  $\phi$ 、 $yz$  面内で  $\phi$  だけ対称に傾け、各辺の長さを  $\delta a$ 、 $\delta b$ 、 $\delta c$  だけ長くしたとすると、



変形状態の形状マトリックスは

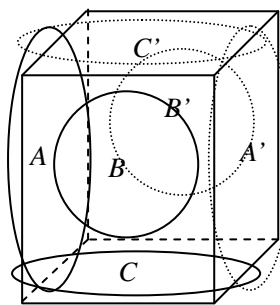
$$h = \begin{pmatrix} a_0 + \delta a & b_0 \theta & c_0 \phi \\ a_0 \theta & b_0 + \delta b & c_0 \phi \\ a_0 \phi & b_0 \phi & c_0 + \delta c \end{pmatrix} \dots\dots\dots(2)$$

変形勾配テンソルと、ひずみテンソルは

$$F = hh_0^{-1} = \begin{pmatrix} \frac{a_0 + \delta a}{a_0} & \theta & \phi \\ \theta & \frac{b_0 + \delta b}{b_0} & \phi \\ \phi & \phi & \frac{c_0 + \delta c}{c_0} \end{pmatrix} \dots\dots\dots(3)$$

$$\eta = \begin{pmatrix} \frac{\delta a}{a_0} & \theta & \phi \\ & \frac{\delta b}{b_0} & \phi \\ sym. & & \frac{\delta c}{c_0} \end{pmatrix} \dots\dots\dots(4)$$

この周期境界条件を有する系の変形を **FEM** で解くためには、変形前の形状マトリックスのセル形状のメッシュを用意する。ここで、**A-A'**, **B-B'**, **C-C'**などの相対する面の節点の位置は、周期境界条件の設定により、平行移動したものになってなければならない。



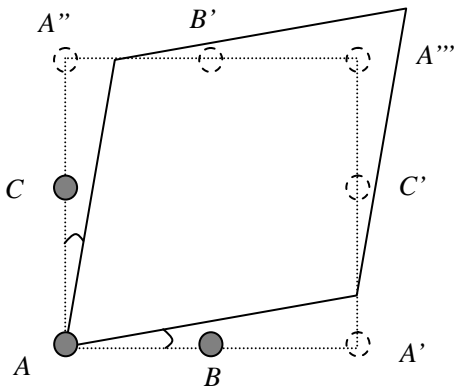
その上で、例えば面 **A** と **A'**上の対応する節点の **x, y, z** 方向の変位を以下の拘束方程式により拘束する。

$$\begin{aligned} x_A + \delta a &= x_{A'} \\ y_A + a_0 \theta &= y_{A'} \quad \dots\dots\dots(5) \\ z_A + a_0 \phi &= z_{A'} \end{aligned}$$

面 **B-B'**, **C-C'**も同様となる。

$$\begin{aligned}
 x_B + b_0 \theta &= x_{B'} \\
 y_B + \delta b &= y_{B'} \quad \dots\dots(6) \\
 z_B + b_0 \phi &= z_{B'} \\
 x_C + c_0 \varphi &= x_{C'} \\
 y_C + c_0 \phi &= y_{C'} \quad \dots\dots(7) \\
 z_C + \delta c &= z_{C'}
 \end{aligned}$$

ただし、 $x, y, z$  の三方向に周期境界条件を与えているため、同じ節点が複数コピーされているため、辺上の節点の取り扱いには注意が必要になる。



例えば、上の図のような二次元 8 節点のモデルの場合は、独立した節点は  $A, B, C$  の 3 つのみであり、他の節点は  $A, B, C$  のいずれかと関連付けられる。

具体的に書くと、

A-A'間には

$$\begin{aligned}
 x_A &= x_{A'} \\
 y_A + a_0 \theta &= y_{A'}
 \end{aligned}$$

A-A''間には

$$\begin{aligned}
 x_A + b_0 \theta &= x_{A''} \\
 y_A &= y_{A''}
 \end{aligned}$$

A-A'''間には

$$\begin{aligned}
 x_A + b_0 \theta &= x_{A'''} \\
 y_A + a_0 \theta &= y_{A'''}
 \end{aligned}$$

の関係がそれぞれ成り立つ。

二次元の場合は、頂点の節点は等価な節点を 4 個（3 個はコピー）持ち、辺上の節点は 2 個（1 個はコピー）持つ。よって、頂点の節点の拘束方程式のみに注意を払えば良い。三次

元では、頂点の節点は等価な節点を 8 個（7 個はコピー）持ち、辺上の節点は 4 個（3 個はコピー）、面内の節点は 2 個（1 個はコピー）持つ。

**(例題)**

任意の直方体のセルに、任意の変形（引張・せん断）を与えてみて、式(4)の均一なひずみになるかどうか、それに対応する応力になるかどうかを確かめる。

Ex1)

$$h_0 = \begin{pmatrix} a_0 & 0 & 0 \\ 0 & a_0 & 0 \\ 0 & 0 & a_0 \end{pmatrix}, \quad h = \begin{pmatrix} a_0 + \delta a & 0 & 0 \\ 0 & a_0 & 0 \\ 0 & 0 & a_0 \end{pmatrix}$$

$a_0=100, \delta a=1, E=1, \nu=0.3$

$$\eta = \begin{pmatrix} 0.01 & 0 & 0 \\ & 0 & 0 \\ sym. & & 0 \end{pmatrix}$$

Ex2)

$$h_0 = \begin{pmatrix} a_0 & 0 & 0 \\ 0 & a_0 & 0 \\ 0 & 0 & a_0 \end{pmatrix}, \quad h = \begin{pmatrix} a_0 & a_0\theta & 0 \\ a_0\theta & a_0 & 0 \\ 0 & 0 & a_0 \end{pmatrix}$$

$a_0=100, \theta=0.01$

$$\eta = \begin{pmatrix} 0 & 0.01 & 0 \\ & 0 & 0 \\ sym. & & 0 \end{pmatrix}$$

Ex3)

$$h_0 = \begin{pmatrix} a_0 & 0 & 0 \\ 0 & 2a_0 & 0 \\ 0 & 0 & a_0 \end{pmatrix}, \quad h = \begin{pmatrix} a_0 & 2a_0\theta & 0 \\ a_0\theta & 2a_0 & 0 \\ 0 & 0 & a_0 \end{pmatrix}$$

$$\eta = \begin{pmatrix} 0 & 0.01 & 0 \\ & 0 & 0 \\ \text{sym.} & & 0 \end{pmatrix}$$

解答)

解析条件

100mm×100mm×100mm の立方体 (1,2)

100mm×200mm×100mm の六面体 (3)

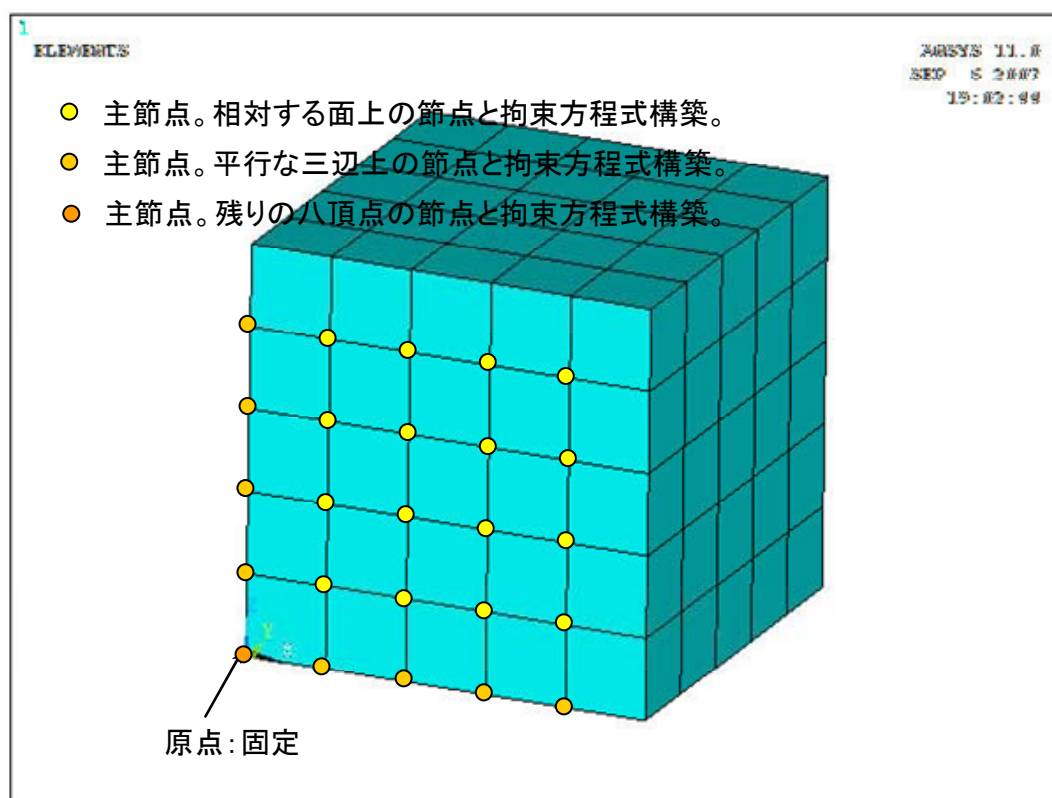
E=1MPa、 $\nu=0.3$

Solid45 (三次元ソリッド一次要素)

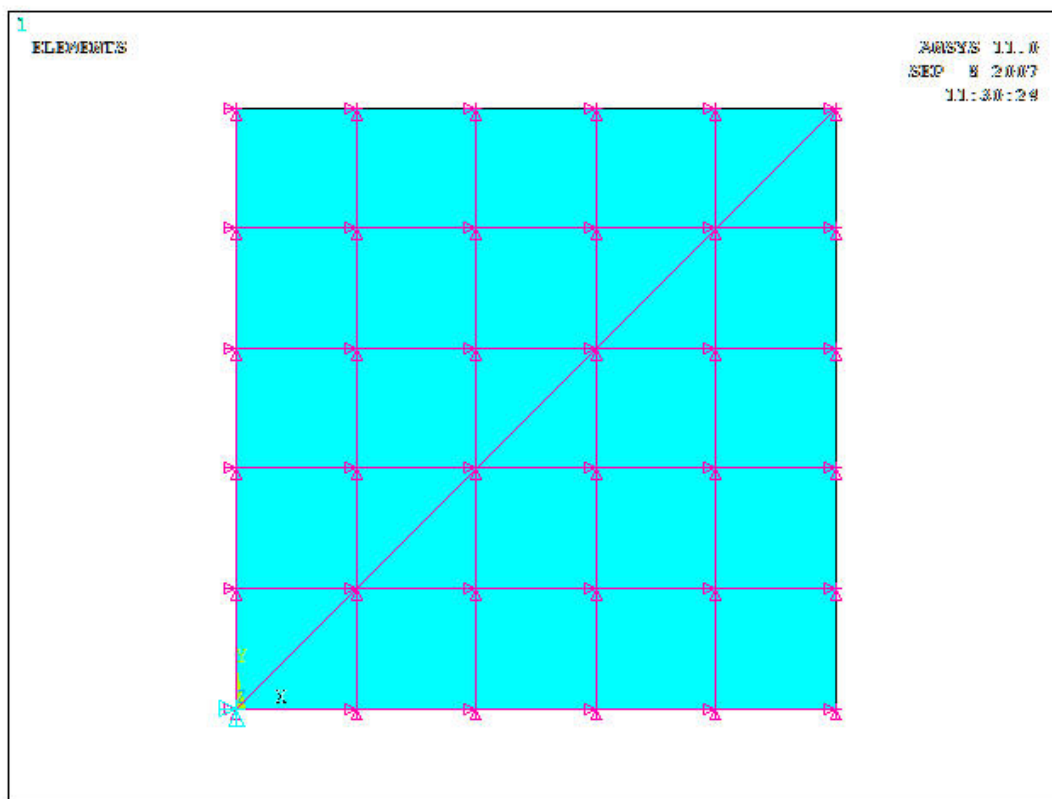
拘束方程式

原点を含む面上の下図の節点を主節点として

拘束方程式を構築。

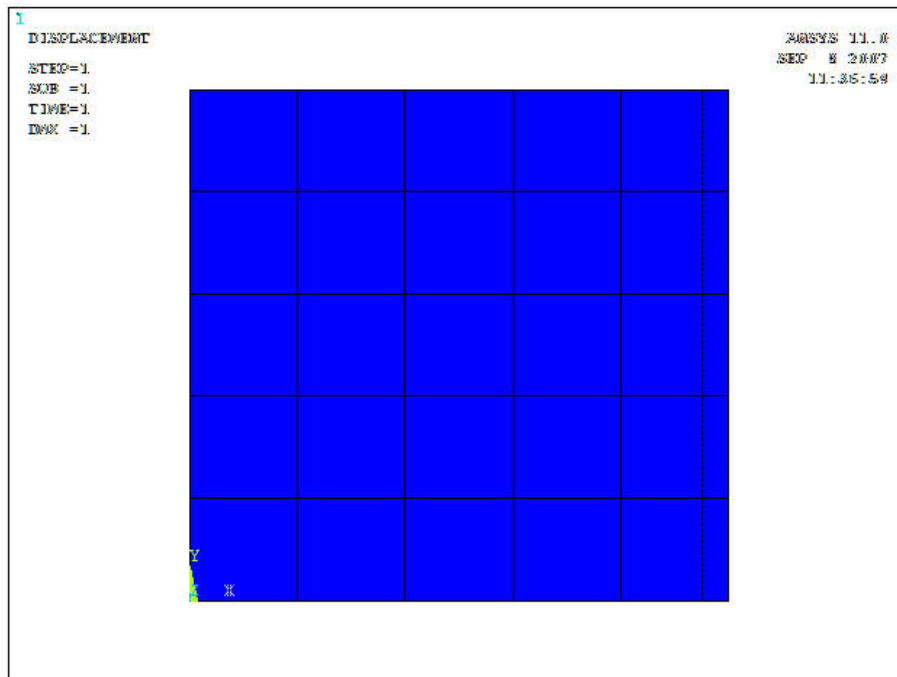


xy 平面から見た境界条件（ピンク色の線：拘束方程式）

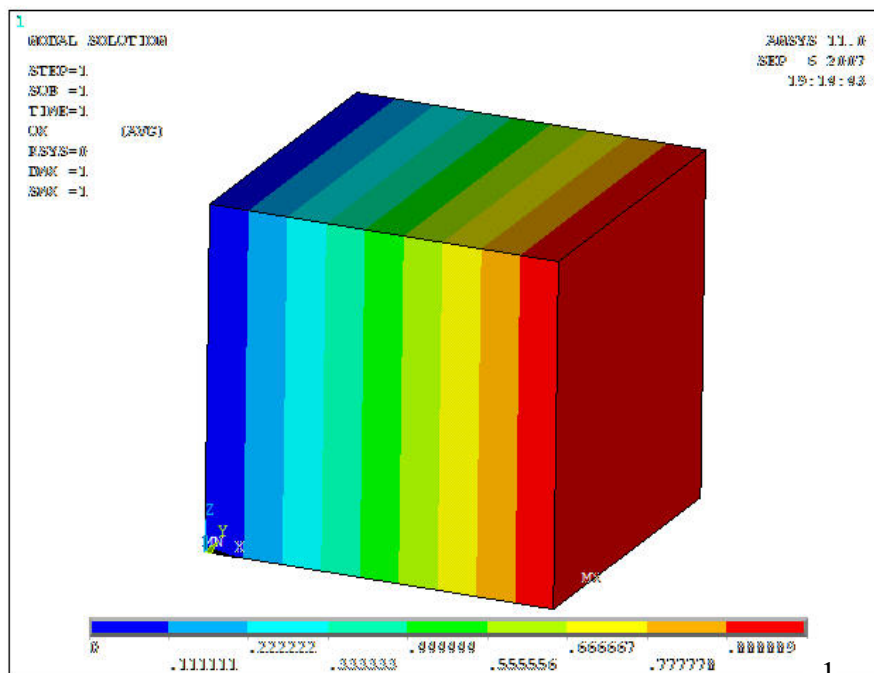


Ex1)  $\delta a=1$  (単純引張り)  $\rightarrow \epsilon_x$  のみ 0.01 で後はゼロになる

変形図

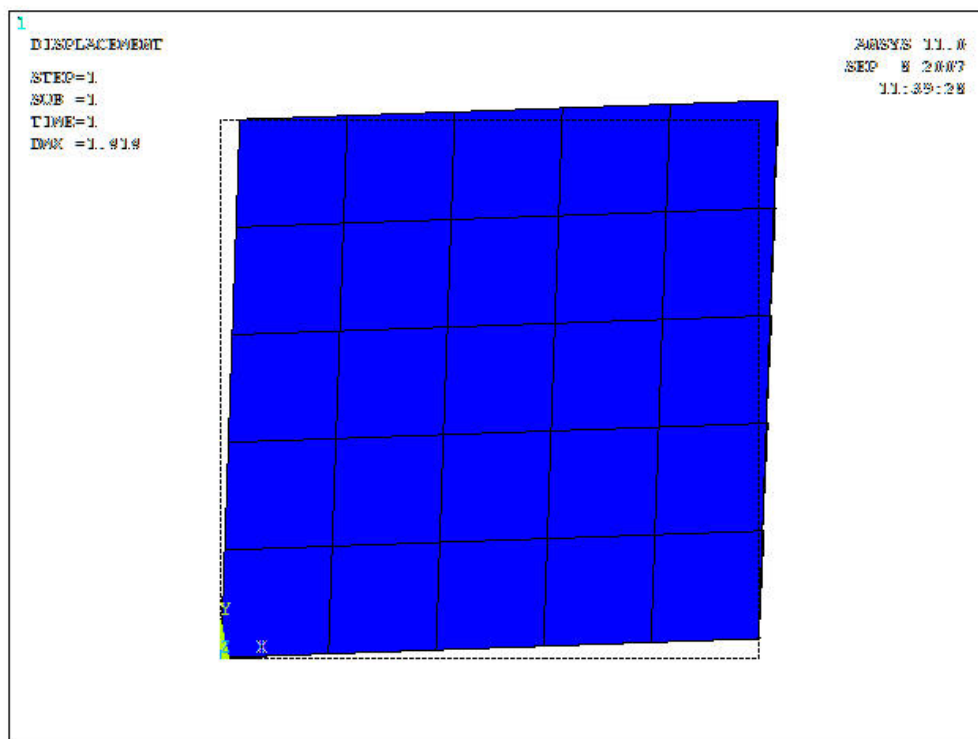


x 方向変位

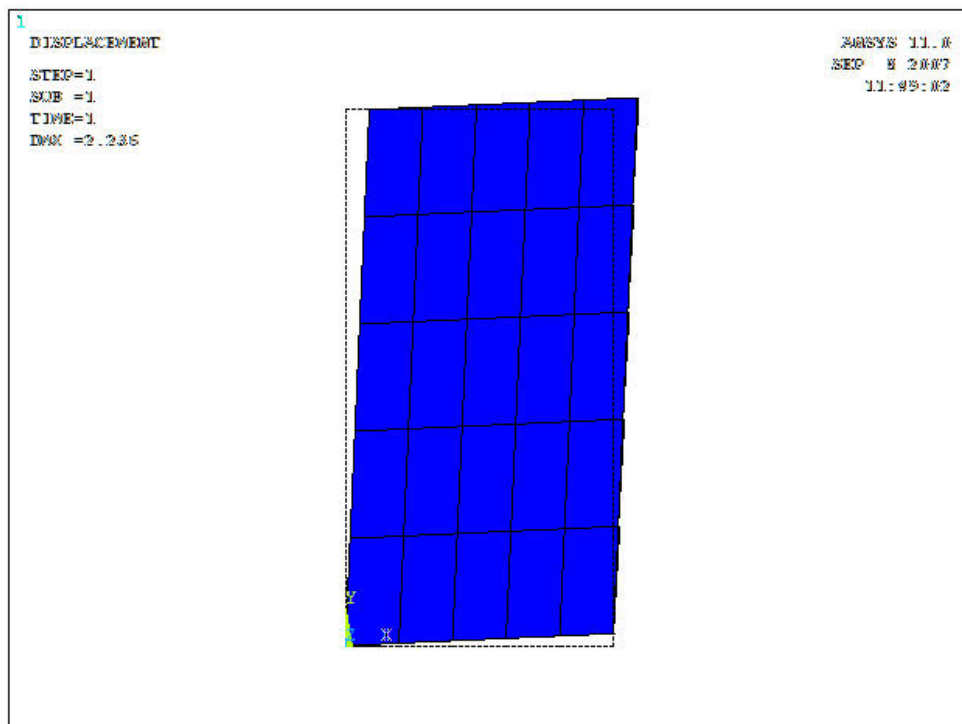




Ex2)  $\delta \theta = 0.01$  (純せん断)  $\rightarrow \epsilon_{xy}$  のみ 0.02 で後はゼロになる



Ex3)  $b_0 = 200\text{mm}$ ,  $\delta \theta = 0.01$  (純せん断)  $\rightarrow \epsilon_{xy}$  のみ 0.02 で後はゼロになる



(その他の例)

真ん中に穴が開いている場合

周期的な Mises 相当応力場が実現されている。

